

# НЕУПРУГИЕ ПРОЦЕССЫ И ЭФФЕКТЫ ИНТЕРФЕРЕНЦИИ ПРИ ВЗАИМОДЕЙСТВИИ ПОЗИТРОНИЯ С УЛЬТРАКОРОТКИМИ ИМПУЛЬСАМИ ЭЛЕКТРОМАГНИТНОГО ПОЛЯ

*M. K. Есеев\*, B. I. Матвеев\*\**

*Северный (Арктический) федеральный университет им. М. В. Ломоносова  
163002, Архангельск, Россия*

Поступила в редакцию 23 мая 2013 г.

Рассмотрены процессы возбуждения, развала и переизлучения при взаимодействии атома позитрония с ультракороткими импульсами электромагнитного поля. Получены вероятности неупругих процессов и спектры переизлучения. Показано, что интерференция амплитуд излучения фотона электроном и позитроном вносит заметный вклад в спектры переизлучения. Развитый подход применим при описании взаимодействия позитрония с ультракороткими импульсами аттосекундной и меньшей длительности.

DOI: 10.7868/S0044451013110060

## 1. ВВЕДЕНИЕ

Атом позитрония, представляющий собой связанное состояние электрона и позитрона, является уникальным объектом исследования в квантовой электродинамике [1, 2]. Этот экзотический атом, состоящий из лептона и антилептона, позволяет получить новые сведения о природе электрослабого взаимодействия, процессах с участием античастиц, аннигиляции антивещества. Среди экзотических атомов позитроний был экспериментально получен первым [3] и работы по его исследованию продолжаются в ряде лабораторий мира [4–6]. Особый интерес вызывают процессы лазерного возбуждения атомов позитрония в ридберговские состояния, в которых атомы могут существовать достаточно долго [7]. Значительный прогресс в области генерации и использования ультракоротких импульсов электромагнитного поля [8, 9] стимулирует исследования поведения позитрония в полях ультракоротких импульсов. В работах [10–12] методами прямого численного интегрирования нестационарного уравнения Шредингера рассчитана вероятность ионизации позитрония лазерными импульсами фемтосекундной длительности. Модель Келдыша для волковских волновых функций

с кулоновскими поправками сопоставлялась в статье [13] с численным решением нестационарного уравнения Шредингера при расчете неупругих процессов в атоме позитрония в поле фемтосекундного лазера. В работе [14] для описания процесса ионизации позитрония наряду с моделью Келдыша численно решались классические уравнения движения частиц с использованием метода Монте-Карло. Длительность импульса при этом составляла порядка 100 ас. Помимо процессов возбуждения и ионизации активно исследуется рассеяние электромагнитного поля на позитронии. Процесс поглощения и излучения фотонов в атоме позитрония с учетом поляризации в рамках квантовой электродинамики рассмотрен, например, в работе [15]. Атом позитрония свободен от релятивистского дрейфа электрона относительно позитрона в поле интенсивной электромагнитной волны, поэтому представляет интерес с точки зрения возможностей генерации высоких гармоник [16]. Сечение комптоновского рассеяния рентгеновских фотонов на позитронии с учетом интерференции на двух центрах было найдено в работе [17]. Процессы же переизлучения ультракоротких импульсов длительностью порядка аттосекунды и менее на атоме позитрония до настоящего времени не изучались, хотя аналогичные процессы при выборе атомов и молекул в качестве мишней рассмотрены недавно в ряде теоретических работ (см., напри-

\*E-mail: m\_eseev@mail.ru

\*\*E-mail: matveev.victor@pomorsu.ru

мер, [18] и приведенные там ссылки). В работе [19] в рамках классического описания рассмотрено рассеяние ультракороткого импульса на атоме. Сравнительно недавно в работах [18, 20] в рамках последовательного квантовомеханического подхода, основанного на теории возмущений, развито описание рассеяния ультракороткого электромагнитного импульса на многоэлектронном атоме с учетом возбуждения мишени и недипольности электромагнитного взаимодействия, справедливое в широком спектральном диапазоне. Получены спектры рассеянного излучения для различных длительностей ультракороткого импульса. Такой подход, в принципе, применим и для импульсов аттосекундной и меньшей длительности, однако в этих случаях возможен точный учет поля ультракороткого импульса в рамках теории внезапных возмущений, что позволяет проще описать [21] процессы перерассеяния и распространить теорию на случаи простейших молекул [22, 23]. Недавно в работе [24] на основе теории [21] рассмотрены процессы переизлучения ультракоротких импульсов электромагнитного поля линейными цепочками, составленными из изолированных многоэлектронных атомов. В работе [25] исследуются процессы рассеяния ультракоротких импульсов электромагнитного поля свободными электронами.

В настоящей работе рассмотрены процессы возбуждения, раз渲ала и переизлучения при взаимодействии атома позитрония с ультракороткими импульсами электромагнитного поля. Развитая методика позволяет провести точный учет пространственной неоднородности поля ультракороткого импульса и импульсов фотонов в процессах переизлучения. В рассматриваемых нами случаях длительность ультракоротких импульсов  $\tau$  и время их взаимодействия с мишенью считаются значительно меньшими по сравнению с характерным атомным временем  $\tau_a$ . При этом поле ультракороткого импульса учитывается точно в рамках приближения внезапных возмущений, а процесс излучения фотонов описывается по теории возмущений. Получены вероятности возбуждения и раз渲ала позитрония в процессах такого типа. Развито описание процессов переизлучения позитронием ультракоротких импульсов электромагнитного поля. Получены угловые распределения и спектры переизлучения. Показано, что процессы интерференции амплитуд излучения фотона электроном и позитроном вносят заметный вклад в спектры переизлучения. Развитый подход применим при описании взаимодействия позитрония с ультракороткими импульсами аттосекундной и меньшей длительности.

## 2. ВОЗВУЖДЕНИЕ И ИОНИЗАЦИЯ ПОЗИТРОНИЯ

Рассмотрим атом позитрония, взаимодействующий с импульсом электромагнитного поля гауссовой формы (здесь и везде ниже используются атомные единицы):

$$\mathbf{E}(\mathbf{r}, t) = \mathbf{E}_0 \exp\left(-\alpha^2 \left(t - \frac{\mathbf{n}_0 \cdot \mathbf{r}}{c}\right)^2\right) \times \cos(\omega_0 t - \mathbf{k}_0 \cdot \mathbf{r}), \quad (1)$$

где  $\mathbf{E}(\mathbf{r}, t)$  — напряженность электрического поля,  $\mathbf{E}_0$  — амплитуда,  $\mathbf{k}_0 = (\omega_0/c)\mathbf{n}_0$ ,  $\mathbf{n}_0$  — единичный вектор вдоль направления распространения импульса,  $\mathbf{r}$  — координаты точки наблюдения,  $c$  — скорость света, а длительность импульса  $\tau \sim 1/\alpha$ . Согласно [21] потенциал взаимодействия электрона и позитрона с импульсом электромагнитного поля запишем в виде

$$V(t) \equiv V(\mathbf{r}_e, \mathbf{r}_p, t) = -\mathbf{E}(\mathbf{r}_e, t) \cdot \mathbf{r}_e + \mathbf{E}(\mathbf{r}_p, t) \cdot \mathbf{r}_p = \sum_{a=1}^2 (-1)^a \mathbf{E}(\mathbf{r}_a, t) \cdot \mathbf{r}_a, \quad (2)$$

где  $\mathbf{r}_e$  — координаты электрона,  $\mathbf{r}_p$  — координаты позитрона и для удобства введено обозначение  $\mathbf{r}_a$ ,  $a = 1, 2$ , так что  $\mathbf{r}_1 \equiv \mathbf{r}_e$  и  $\mathbf{r}_2 \equiv \mathbf{r}_p$ .

Пусть параметр  $\alpha$  в (1) такой, что  $V(t)$  эффективно отличается от нуля только в течение времени  $\tau$ , много меньшего характерных периодов невозмущенного атома позитрония, описываемого гамильтонианом  $H_0$ . Тогда амплитуда перехода атома из начального состояния  $\varphi_0$  в какое-либо конечное состояние  $\varphi_n$  в результате действия внезапного возмущения  $V(t)$  будет иметь вид [26]

$$a_{0n} = \langle \varphi_n | \exp(-i \int_{-\infty}^{\infty} V(t) dt) | \varphi_0 \rangle, \quad (3)$$

где  $\varphi_0$  и  $\varphi_n$  принадлежат полной ортонормированной системе собственных функций невозмущенного гамильтониана  $H_0$ . Отметим, что

$$\int_{-\infty}^{\infty} V(t) dt = - \int_{-\infty}^{\infty} \mathbf{E}(\mathbf{r}_1, t) \cdot \mathbf{r}_1 dt + \int_{-\infty}^{\infty} \mathbf{E}(\mathbf{r}_2, t) \cdot \mathbf{r}_2 dt,$$

причем

$$\int_{-\infty}^{\infty} \mathbf{E}(\mathbf{r}_1, t) dt = \int_{-\infty}^{\infty} \mathbf{E}(\mathbf{r}_2, t) dt.$$

Общее значение этих интегралов (независящее от координат  $\mathbf{r}_1$  и  $\mathbf{r}_2$ ) обозначим  $\mathbf{q}$ ,

$$\mathbf{q} = \int_{-\infty}^{\infty} dt \mathbf{E}(\mathbf{r}, t) = \mathbf{E}_0 \frac{\sqrt{\pi}}{\alpha} \exp\left(-\frac{\omega_0^2}{4\alpha^2}\right). \quad (4)$$

Тогда (3) примет вид

$$a_{0n} = \langle \varphi_n | \exp(-i\mathbf{q} \cdot (\mathbf{r}_1 - \mathbf{r}_2)) | \varphi_0 \rangle, \quad (5)$$

откуда следует, что  $\mathbf{q}$  имеет смысл переданного импульса, причем импульсы, передаваемые электрону и позитрону, равны по величине и противоположны по знаку. Другими словами, при взаимодействии с ультракоротким импульсом электромагнитного поля движение центра масс позитрона в приближении внезапных возмущений не изменяется. В формуле (5) волновая функция основного состояния позитрона, нормированная на один атом в объеме  $V$ , имеет вид

$$|\varphi_0\rangle = \varphi_0(\mathbf{r}_1, \mathbf{r}_2) = V^{-1/2} \exp(i\mathbf{P} \cdot \mathbf{R}) \phi_0(\mathbf{r}),$$

где  $\phi_0 = \pi^{-1/2} 2^{-3/2} e^{-r/2}$  — волновая функция основного состояния относительного движения в атоме позитрона. Соответственно, волновые функции возбужденных состояний представимы как

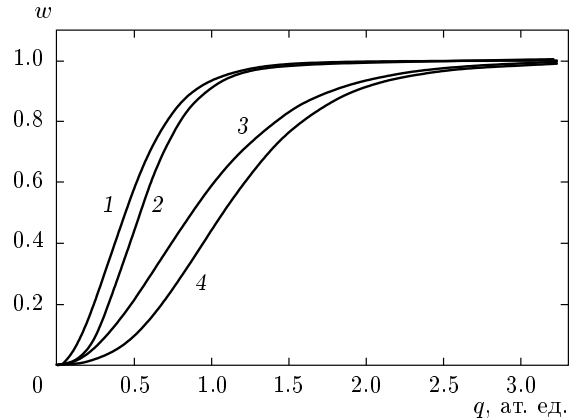
$$|\varphi_n\rangle = V^{-1/2} \exp(i\mathbf{P} \cdot \mathbf{R}) \phi_n(\mathbf{r}),$$

где  $\phi_n$  — волновая функция произвольного состояния относительного движения в атоме позитрона. Введены обозначения:  $\mathbf{R} = (\mathbf{r}_1 + \mathbf{r}_2)/2$  — координата центра масс позитрона,  $\mathbf{r} = \mathbf{r}_1 - \mathbf{r}_2$  — координата относительного движения и  $\mathbf{P}$  — импульс центра масс. Поэтому формула (5) после замены переменных  $\mathbf{r}_1$  и  $\mathbf{r}_2$  на  $\mathbf{R}$  и  $\mathbf{r}$  принимает вид

$$a_{0n} = \int d^3 r \phi_n^*(\mathbf{r}) \exp(-i\mathbf{q} \cdot \mathbf{r}) \phi_0(\mathbf{r}) V^{-1} \int d^3 R = \\ = \langle \phi_n | \exp(-i\mathbf{q} \cdot \mathbf{r}) | \phi_0 \rangle.$$

Таким образом, амплитуды  $a_{0n}$  выражаются через хорошо известные [27, 28] неупругие атомные формфакторы водородоподобного атома. Соответственно, вероятности переходов  $w_{0,n} = |a_{0n}|^2$ . Поэтому, например, для водородоподобного атома вероятность переходов из  $1s$ -состояния во все состояния с главным квантовым числом  $n$  имеет вид

$$w_{0,n} = 2^8 q^2 a^2 n^7 \left[ \frac{n^2 - 1}{3} + (qan)^2 \right] \times \\ \times \frac{[(n-1)^2 + (qan)^2]^{n-3}}{[(n+1)^2 + (qan)^2]^{n+3}}, \quad (6)$$

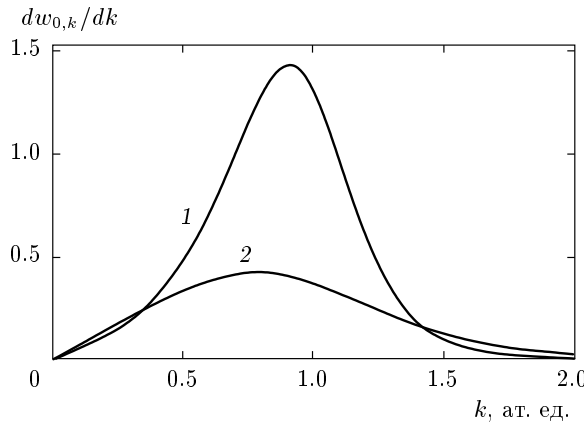


**Рис. 1.** Вероятности неупругих процессов в зависимости от переданного импульса  $q$ . Кривая 1 — вероятность всех неупругих процессов для атома Ps, кривая 2 — вероятность развала атома Ps, кривая 3 — вероятность всех неупругих процессов в атоме H, кривая 4 — вероятность ионизации атома H

здесь и ниже  $a = 2$  для позитрона и  $a = 1$  для атома водорода. В частности,  $w_{0,0}$  — вероятность оставаться в основном состоянии. Из унитарности приближения внезапных возмущений следует, что вероятность реакции — вероятность перехода атома позитрона во все возбужденные состояния (включая состояния континуума) — равна  $w_r = 1 - w_{0,0}$  и превышает соответствующую вероятность для атома водорода. Приведем также вероятность перехода атома позитрона в состояния континуума с импульсом  $k$  (по всем углам  $\Omega_k$  вектора  $\mathbf{k}$  проведено интегрирование):

$$\frac{dw_{0,k}}{dk} = \frac{2^8 q^2 k a^4}{1 - \exp(-2\pi/ka)} \times \\ \times \frac{q^2 a^2 + (1 + k^2 a^2)/3}{[(q^2 a^2 + 1 - k^2 a^2)^2 + (2ka)^2]^3} \times \\ \times \exp\left\{-\frac{2}{ka} \arctg \frac{2ka}{q^2 a^2 + 1 - k^2 a^2}\right\}. \quad (7)$$

Полная вероятность развала атома позитрона получается из (7) путем интегрирования по всем значениям импульса  $k$ . На рис. 1 представлены результаты расчетов вероятностей возбуждения и развала атомов позитрона и водорода в зависимости от переданного импульса  $q$ . На рис. 2 приведены распределения (7) для позитрона и атома водорода.



**Рис. 2.** Зависимость вероятности ионизации от абсолютной величины импульса вылетевшей частицы. Кривая 1 описывает спектр ионизации для позитрона (электрона) в атоме Ps, кривая 2 — распределение по импульсам для вылетевших из атома H электронов. Импульс, переданный атомной системе при взаимодействии,  $q = 1$  ат. ед.

### 3. ПЕРЕИЗЛУЧЕНИЕ УЛЬТРАКОРОТКОГО ИМПУЛЬСА

В приближении внезапных возмущений эволюция начального состояния  $\varphi_0$  имеет вид [21]

$$\Phi_0(t) = \exp \left( -i \int_{-\infty}^t V(t') dt' \right) \varphi_0, \quad (8)$$

причем  $\Phi_0(t) \rightarrow \varphi_0$  при  $t \rightarrow -\infty$ . Волновую функцию произвольного возбужденного состояния атома позитрона будем обозначать  $\varphi_n$ . Введем полную и ортонормированную систему функций

$$\Phi_n(t) = \exp(i \int_t^\infty V(t') dt') \varphi_n, \quad (9)$$

причем  $\Phi_n(t) \rightarrow \varphi_n$  при  $t \rightarrow \infty$ . Очевидно, что амплитуду перехода из состояния  $\Phi_0$  в состояние  $\Phi_n$  в результате действия внезапного возмущения (2) можно записать (ср. (3)) в виде

$$a_{0n} = \langle \varphi_n | \exp \left( i \int_{-\infty}^\infty V(t') dt' \right) | \varphi_0 \rangle = \\ = \langle \Phi_n(t) | \Phi_0(t) \rangle. \quad (10)$$

Нас интересует переизлучение ультракороткого импульса в течение времени его взаимодействия с

атомом позитрона. Поле излучения описываем оператором вектор-потенциала

$$\hat{\mathbf{A}}(\mathbf{r}) = \sum_{\mathbf{k}, \sigma} \left( \frac{2\pi c^2}{\omega} \right)^{1/2} \mathbf{u}_{\mathbf{k}\sigma} \hat{a}_{\mathbf{k}\sigma}^\dagger \exp(-i\mathbf{k} \cdot \mathbf{r}), \quad (11)$$

где  $\hat{a}_{\mathbf{k}\sigma}^\dagger$  — оператор рождения фотона с импульсом  $\mathbf{k}$ , частотой  $\omega$  и поляризацией  $\sigma$ ,  $\sigma = 1, 2$ ;  $\mathbf{u}_{\mathbf{k}\sigma}$  — единичные векторы поляризации. Оператор взаимодействия позитрона с полем излучения равен

$$U = -\frac{1}{c} \hat{\mathbf{A}} \hat{\mathbf{p}}_1 + \frac{1}{c} \hat{\mathbf{A}} \hat{\mathbf{p}}_2 = \\ = \left( \frac{2\pi}{\omega} \right)^{1/2} \mathbf{u}_{\mathbf{k}\sigma} \hat{a}_{\mathbf{k}\sigma}^\dagger \sum_{a=1}^2 (-1)^a \exp(-i\mathbf{k} \cdot \mathbf{r}_a) \hat{\mathbf{p}}_a, \quad (12)$$

где  $\hat{\mathbf{p}}_1 = -i\partial/\partial\mathbf{r}_1$  — оператор импульса электрона,  $\hat{\mathbf{p}}_2 = -i\partial/\partial\mathbf{r}_2$  — оператор импульса позитрона. Поэтому, следуя [21], амплитуду излучения фотона будем вычислять как поправку к состояниям (8) и (9) в первом порядке теории возмущений по взаимодействию атомных электронов с электромагнитным полем<sup>1)</sup>. Тогда амплитуда испускания фотона с одновременным переходом позитрона из состояния  $\varphi_0$  в состояние  $\varphi_n$  имеет вид

$$b_{0n}(\omega) = i \left( \frac{2\pi}{\omega} \right)^{1/2} \mathbf{u}_{\mathbf{k}\sigma} \int_{-\infty}^{\infty} dt \exp(i\omega t) \langle \Phi_n(t) | \times \\ \times \sum_{a=1}^2 (-1)^a \exp(-i\mathbf{k} \cdot \mathbf{r}_a) \hat{\mathbf{p}}_a | \Phi_0(t) \rangle. \quad (13)$$

Отсюда после интегрирования по частям по времени и опускания членов, исчезающих при выключении (при  $t \rightarrow \pm\infty$ ) взаимодействия с электромагнитным полем, получаем

$$b_{0n}(\omega) = \left( \frac{2\pi}{\omega} \right)^{1/2} \mathbf{u}_{\mathbf{k}\sigma} \int_{-\infty}^{\infty} dt \frac{\exp(i\omega t)}{i\omega} \langle \varphi_n | \times \\ \times \sum_{a=1}^2 (-1)^a \exp(-i\mathbf{k} \cdot \mathbf{r}_a) \frac{\partial V(t)}{\partial \mathbf{r}_a} \times \\ \times \exp \left( -i \int_{-\infty}^{\infty} V(t') dt' \right) | \varphi_0 \rangle. \quad (14)$$

Подчеркнем, что речь идет об излучении одного фотона одновременно электроном и позитроном за

<sup>1)</sup> Внезапное же возмущение  $V(t)$  учтено в функциях  $\Phi_n(t)$  и  $\Phi_0(t)$  без ограничений на величину  $V(t)$ .

время действия внезапного возмущения  $V(t)$ . Далее нам необходимо найти спектр излучения фотона в телесный угол  $d\Omega_{\mathbf{k}}$ , описанный вдоль направления импульса фотона  $\mathbf{k}$ . Представив элемент интегрирования по импульсу фотона в виде

$$(2\pi)^{-3}d\mathbf{k} = (2\pi c)^{-3}d\Omega_{\mathbf{k}}\omega^2 d\omega$$

и выполнив суммирование  $|b_{0n}(\omega)|^2$  по поляризациям и по всем возможным конечным состояниям атома позитрония, получим соответствующий спектр испускания фотона в единицу телесного угла  $\Omega_{\mathbf{k}}$ :

$$\begin{aligned} \frac{d^2W}{d\Omega_{\mathbf{k}}d\omega} &= \frac{1}{(2\pi)^2} \frac{1}{c^3\omega} \langle \varphi_0 | \times \\ &\times \sum_{a,b} (-1)^{a+b} \exp(-i\mathbf{k}(\mathbf{r}_a - \mathbf{r}_b)) \times \\ &\times \left[ \frac{\partial \tilde{V}(\omega)}{\partial \mathbf{r}_a} \times \mathbf{n} \right] \cdot \left[ \frac{\partial \tilde{V}^*(\omega)}{\partial \mathbf{r}_b} \times \mathbf{n} \right] |\varphi_0\rangle. \quad (15) \end{aligned}$$

Таким образом, во многом следуя выкладкам, приведенным в статье [21], мы получили угловое распределение полного спектра излучения фотона в единицу телесного угла в течение времени действия внезапного возмущения  $V(t)$ . В формуле (15)  $\mathbf{n} = \mathbf{k}/k$  — единичный вектор в направлении вылета фотона,  $\tilde{V}(\omega)$  — фурье-образ функции  $V(t)$ , представленной формулой (2), поэтому

$$\begin{aligned} \tilde{V}(\omega) &= \int_{-\infty}^{\infty} V(t) \exp(i\omega t) dt = \\ &= f_0(\omega) \mathbf{E}_0 \cdot \sum_a \mathbf{r}_a (-1)^a \exp\left(i\frac{\omega}{c} \mathbf{n}_0 \cdot \mathbf{r}_a\right), \quad (16) \end{aligned}$$

где

$$\begin{aligned} f_0(\omega) &= \frac{\sqrt{\pi}}{2\alpha} \left\{ \exp\left[-\frac{(\omega - \omega_0)^2}{4\alpha^2}\right] + \right. \\ &\quad \left. + \exp\left[-\frac{(\omega + \omega_0)^2}{4\alpha^2}\right] \right\}, \quad (17) \end{aligned}$$

а векторное произведение равно

$$\begin{aligned} \frac{\partial \tilde{V}(\omega)}{\partial \mathbf{r}_a} \times \mathbf{n} &= (-1)^a f_0(\omega) \exp\left(i\frac{\omega}{c} \mathbf{n}_0 \cdot \mathbf{r}_a\right) \times \\ &\times \left( \mathbf{E}_0 \times \mathbf{n} + i\frac{\omega}{c} (\mathbf{E}_0 \cdot \mathbf{r}_a) [\mathbf{n}_0 \times \mathbf{n}] \right). \quad (18) \end{aligned}$$

Теперь нетрудно переписать спектр излучения (15) в виде

$$\begin{aligned} \frac{d^2W}{d\Omega_{\mathbf{k}}d\omega} &= \frac{|f_0(\omega)|^2}{(2\pi)^2 c^3 \omega} \langle \varphi_0 | \sum_{a,b} \exp(-i\mathbf{p} \cdot (\mathbf{r}_a - \mathbf{r}_b)) \times \\ &\times \left\{ [\mathbf{E}_0 \times \mathbf{n}]^2 + i\frac{\omega}{\omega_0} ([\mathbf{E}_0 \times \mathbf{n}] \cdot [\mathbf{k}_0 \times \mathbf{n}]) \mathbf{E}_0 \cdot (\mathbf{r}_a - \mathbf{r}_b) + \right. \\ &\quad \left. + (\mathbf{E}_0 \cdot \mathbf{r}_a) (\mathbf{E}_0 \cdot \mathbf{r}_b) \frac{\omega^2}{\omega_0^2} [\mathbf{k}_0 \times \mathbf{n}]^2 \right\} |\varphi_0\rangle, \quad (19) \end{aligned}$$

где

$$\mathbf{k}_0 = \frac{\omega_0}{c} \mathbf{n}_0, \quad \mathbf{p} = \mathbf{k} - \frac{\omega}{\omega_0} \mathbf{k}_0 = \frac{\omega}{c} (\mathbf{n} - \mathbf{n}_0).$$

Отдельно рассмотрим в (19) слагаемые с  $a = b$  и  $a \neq b$ , соответственно представим спектр в виде

$$\frac{d^2W}{d\Omega_{\mathbf{k}}d\omega} = \frac{d^2W_1}{d\Omega_{\mathbf{k}}d\omega} + \frac{d^2W_2}{d\Omega_{\mathbf{k}}d\omega}, \quad (20)$$

где

$$\begin{aligned} \frac{d^2W_1}{d\Omega_{\mathbf{k}}d\omega} &= \frac{|f_0(\omega)|^2}{(2\pi)^2 c^3 \omega} \langle \varphi_0 | \sum_a \left\{ [\mathbf{E}_0 \times \mathbf{n}]^2 + \right. \\ &\quad \left. + (\mathbf{E}_0 \cdot \mathbf{r}_a)^2 \frac{\omega^2}{\omega_0^2} [\mathbf{k}_0 \times \mathbf{n}]^2 \right\} |\varphi_0\rangle, \quad (21) \end{aligned}$$

$$\begin{aligned} \frac{d^2W_2}{d\Omega_{\mathbf{k}}d\omega} &= \frac{|f_0(\omega)|^2}{(2\pi)^2 c^3 \omega} \langle \varphi_0 | \times \\ &\times \sum_{a,b(a \neq b)} \exp(-i\mathbf{p} \cdot (\mathbf{r}_a - \mathbf{r}_b)) \left\{ [\mathbf{E}_0 \times \mathbf{n}]^2 + \right. \\ &\quad \left. + i\frac{\omega}{\omega_0} ([\mathbf{E}_0 \times \mathbf{n}] \cdot [\mathbf{k}_0 \times \mathbf{n}]) \mathbf{E}_0 \cdot (\mathbf{r}_a - \mathbf{r}_b) + \right. \\ &\quad \left. + (\mathbf{E}_0 \cdot \mathbf{r}_a) (\mathbf{E}_0 \cdot \mathbf{r}_b) \frac{\omega^2}{\omega_0^2} [\mathbf{k}_0 \times \mathbf{n}]^2 \right\} |\varphi_0\rangle. \quad (22) \end{aligned}$$

По своему определению спектр  $d^2W_1/d\Omega_{\mathbf{k}}d\omega$  представляет собой сумму двух спектров: спектра излучения фотона только электроном и спектра излучения только позитроном, тогда как спектр  $d^2W_2/d\Omega_{\mathbf{k}}d\omega$ , очевидно, обусловлен интерференцией амплитуд процесса излучения электроном и позитроном. Для выполнения дальнейших преобразований учтем следующее. Как отмечалось после формулы (5), при взаимодействии с ультракоротким импульсом электромагнитного поля положение центра масс позитрония не изменяется. Поэтому выберем систему координат, в начале которой расположен центр масс позитрония, и введем относительные координаты  $\mathbf{r} = \mathbf{r}_1 - \mathbf{r}_2$ , причем  $\mathbf{r}_1 = \mathbf{r}/2$ ,  $\mathbf{r}_2 = -\mathbf{r}/2$ . При таком выборе системы координат

входящие в (21) и (22) средние вида  $\langle \varphi_0 | (\dots) | \varphi_0 \rangle$  берутся с учетом того, что волновая функция основного состояния позитрония, нормированная на один атом в объеме  $V$ , имеет вид

$$|\varphi_0\rangle = \varphi_0(\mathbf{r}_1, \mathbf{r}_2) = V^{-1/2} \exp(i\mathbf{P} \cdot \mathbf{R}) \phi_0(\mathbf{r}).$$

При переходе в систему покоя центра масс эта функция принимает вид

$$|\varphi_0\rangle = V^{-1/2} \phi_0(\mathbf{r}).$$

Поэтому

$$\langle \varphi_0 | (\dots) | \varphi_0 \rangle = \langle \phi_0 | (\dots) | \phi_0 \rangle.$$

Тогда входящие в (21) и (22) средние по водородоподобным функциям  $|\phi_0\rangle$  легко вычисляются, в результате имеем

$$\begin{aligned} \frac{d^2W_1}{d\Omega_{\mathbf{k}} d\omega} &= \\ &= \frac{|f_0(\omega)|^2}{(2\pi)^2 c^3 \omega} \cdot 2 \left\{ [\mathbf{E}_0 \times \mathbf{n}]^2 + \frac{A_1}{4} \frac{\omega^2}{\omega_0^2} [\mathbf{k}_0 \times \mathbf{n}]^2 \right\}, \end{aligned} \quad (23)$$

$$\begin{aligned} \frac{d^2W_2}{d\Omega_{\mathbf{k}} d\omega} &= \frac{|f_0(\omega)|^2}{(2\pi)^2 c^3 \omega} 2 \left\{ A_2 [\mathbf{E}_0 \times \mathbf{n}]^2 + \right. \\ &\quad \left. + A_3 \frac{i\omega}{\omega_0} [\mathbf{E}_0 \times \mathbf{n}] \cdot [\mathbf{k}_0 \times \mathbf{n}] - \frac{A_4}{4} \frac{\omega^2}{\omega_0^2} [\mathbf{k}_0 \times \mathbf{n}]^2 \right\}, \end{aligned} \quad (24)$$

где

$$\begin{aligned} A_1 &= \langle \phi_0 | (\mathbf{E}_0 \cdot \mathbf{r})^2 | \phi_0 \rangle = 4E_0^2, \\ A_2 &= \langle \phi_0 | e^{-i\mathbf{P} \cdot \mathbf{r}} | \phi_0 \rangle = \frac{1}{(1+p^2)^2}, \\ A_3 &= \langle \phi_0 | e^{-i\mathbf{P} \cdot \mathbf{r}} \mathbf{E}_0 \cdot \mathbf{r} | \phi_0 \rangle = -\frac{4i\mathbf{E}_0 \cdot \mathbf{p}}{(1+p^2)^3}, \end{aligned}$$

$$\begin{aligned} A_4 &= \langle \phi_0 | e^{-i\mathbf{P} \cdot \mathbf{r}} (\mathbf{E}_0 \cdot \mathbf{r})^2 | \phi_0 \rangle = \\ &= -\frac{24(\mathbf{E}_0 \cdot \mathbf{p})^2}{(1+p^2)^4} + \frac{4E_0^2}{(1+p^2)^3}. \end{aligned}$$

Теперь мы можем проинтегрировать (23) по всем углам вылета фотона, для этого выберем ось  $z$ , направленную вдоль вектора  $\mathbf{k}_0$ , тогда  $d\Omega_{\mathbf{k}} = d\varphi \sin \theta d\theta$ , в результате

$$\frac{dW_1}{d\omega} = \frac{4|f_0(\omega)|^2}{3\pi c^3 \omega} \mathbf{E}_0^2 \left( 1 + \frac{\omega^2}{c^2} \right). \quad (25)$$

Аналогично, будем интегрировать (24) по всем углам вылета фотона, соответствующий результат обозначим как  $dW_2/d\omega$ , который после замены  $x = \cos \theta$  примет вид

$$\begin{aligned} \frac{dW_2}{d\omega} &= \frac{|f_0(\omega)|^2}{2\pi c^3 \omega} \mathbf{E}_0^2 \int_{-1}^1 dx \frac{1}{(1+2\omega^2 c^{-2}(1-x))^2} \times \\ &\quad \times \left( 1+x^2 - \frac{4\omega^2 c^{-2}(1-x^2)x}{1+2\omega^2 c^{-2}(1-x)} - \right. \\ &\quad \left. - \frac{2\omega^2 c^{-2}(1-x^2)}{1+2\omega^2 c^{-2}(1-x)} + \frac{6\omega^4 c^{-4}(1-x^2)^2}{(1+2\omega^2 c^{-2}(1-x))^2} \right). \end{aligned} \quad (26)$$

Входящий сюда интеграл берется элементарно, но громоздко, в результате

$$\frac{dW_2}{d\omega} = \frac{|f_0(\omega)|^2}{2\pi c^3 \omega} \mathbf{E}_0^2 I \left( \frac{\omega^2}{c^2} \right), \quad (27)$$

где

$$I(y) = \frac{1+y}{4y^3} \left( \frac{4y(1+2y)}{1+4y} - \ln(1+4y) \right), \quad (28)$$

$y = \omega^2/c^2$ . При малых  $y$

$$I(y) = \frac{8}{3} - \frac{40y}{3} + O[y]^2, \quad (29)$$

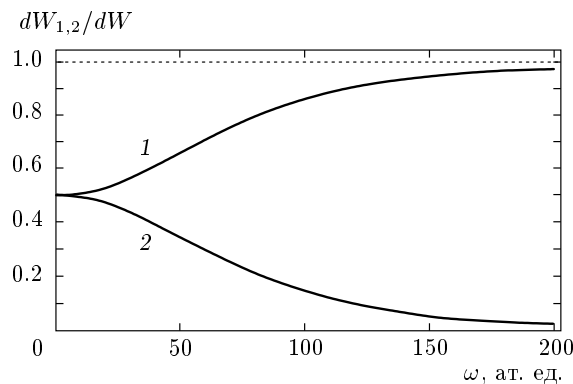
при больших  $y$

$$I(y) = \frac{1}{2y} + O \left[ \frac{1}{y} \right]^2. \quad (30)$$

Согласно (20) полный спектр, проинтегрированный по углам вылета фотона, представляется в виде

$$\begin{aligned} \frac{dW}{d\omega} &= \frac{dW_1}{d\omega} + \frac{dW_2}{d\omega} = \\ &= \frac{|f_0(\omega)|^2}{\pi c^3 \omega} \mathbf{E}_0^2 \left( \frac{4}{3} \left( 1 + \frac{\omega^2}{c^2} \right) + \frac{1}{2} I \left( \frac{\omega^2}{c^2} \right) \right). \end{aligned} \quad (31)$$

Спектр (31) пропорционален  $|f_0(\omega)|^2$ , поэтому согласно (17) атомом преимущественно испускаются фотоны, принадлежащие непрерывному спектру с характерными частотами  $|\omega - \omega_0| \leq 1/\tau$ . Конечно же, после прохождения ультракороткого импульса через мишень атомы, входящие в состав мишени, могут остаться в возбужденных состояниях и релаксировать путем испускания фотонов, принадлежащих известному спектру спонтанного излучения. Очевидно, что в этом случае интерференционные эффекты, характерные для спектров переизлучения (19) либо (31), будут отсутствовать. Для получения сечения переизлучения импульса, согласно [29], необходимо спектр (31) умножить на  $\omega$  и разделить на поток энергии  $I$ , выражаемый через интеграл по врем-



**Рис. 3.** Отношения  $dW_1/dW$  (кривая 1) и  $dW_2/dW$  (кривая 2), рассчитанные по формуле (33), в зависимости от частоты переизлученного фотона для атома Ps, пунктирной линией показана сумма  $dW_1/dW + dW_2/dW$

мени от абсолютной величины вектора Пойнтинга  $S(t) = c(4\pi)^{-1}\mathbf{E}^2$ :

$$I = \int_{-\infty}^{\infty} dt S(t) = \frac{c}{4\pi} \mathbf{E}_0^2 \frac{\sqrt{\pi}}{2\sqrt{2}\alpha} \times \\ \times \left\{ \exp\left(-\frac{\omega_0^2}{2\alpha^2}\right) + 1 \right\}. \quad (32)$$

Обсудим полученные результаты. Как и следовало ожидать, спектр  $dW_1/d\omega$  из (25), полученный в результате сложения спектра излучения фотона только электроном и спектра излучения только позитроном, совпадает с умноженным на два спектром переизлучения атома водорода (формула (22) в статье [21]), который в настоящей статье мы обозначим как  $dW_H/d\omega$ . При этом в случае атома водорода излучает только электрон и в спектре интерференционная часть отсутствует. Для позитрония же полный спектр  $dW/d\omega$ , помимо  $dW_1/d\omega$ , содержит член  $dW_2/d\omega$ , обусловленный интерференцией амплитуд процесса излучения электроном и позитроном. Поэтому вклад интерференционных эффектов в полный спектр переизлучения ультракороткого импульса электромагнитного поля атомом позитрония удобно характеризовать отношением

$$\frac{dW_2/d\omega}{dW/d\omega} = 1 - \frac{dW_1/d\omega}{dW/d\omega} = \\ = \frac{(1/2)I(\omega^2/c^2)}{(4/3)(1 + \omega^2/c^2) + (1/2)I(\omega^2/c^2)}. \quad (33)$$

На рис. 3 представлена зависимость относительного вклада интерференционных эффектов

$dW_2/dW$  от частоты испущенного фотона  $\omega$ . Как следует из формул (27), (30) и как видно на рис. 3, интерференционный вклад уменьшается с ростом частоты излучаемого фотона, причем в широком интервале частот вклад интерференционных эффектов в полный спектр при низких частотах достигает 50 %, уменьшаясь с ростом частоты до 10 % лишь при достаточно больших значениях  $\omega \approx 120$  ат. ед. (при этом  $\omega/c \approx 0.88$ ). На рис. 3 представлена также зависимость от  $\omega$  отношения  $dW_1/dW$  спектров, которое, как отмечалось выше, выражается через отношение спектров переизлучения атомов Ps и H следующим образом:

$$dW_1/dW = 2dW_H/dW,$$

можно сравнить спектры переизлучения ультракороткого импульса электромагнитного поля позитронием и атомом водорода.

#### 4. ЗАКЛЮЧЕНИЕ

Таким образом, нами получены выражения для вероятностей возбуждения и ионизации (развала) при взаимодействии атома позитрония с ультракоротким импульсом электромагнитного поля. При этом мы смогли точно учесть как пространственную неоднородность поля импульса на размерах атома, так и импульсы испускаемых фотонов. Проведены расчет и сравнение вероятностей неупругих процессов ионизации и переизлучения в атомах позитрония и водорода, вызванных аттосекундными (либо меньшей длительности) импульсами электромагнитного поля. Показано, что вероятность разрыва позитрония может значительно превосходить вероятность ионизации атома водорода. Причина состоит в том, что атом позитрония, в силу больших размеров и меньшей энергии связи, более эффективно, чем атом водорода, разрушается под действием ультракороткого импульса электромагнитного поля. Проведен расчет вероятности излучения одного фотона частицей и античастицей, составляющих атом позитрония. Проанализирована роль интерференционных эффектов при переизлучении падающего ультракороткого импульса электроном и позитроном. Показано, что с ростом частоты переизлучения вклад интерференционных слагаемых в спектре уменьшается аналогично случаю классической картины интерференции на двух щелях. Сравнение спектров переизлучения позитрония и водорода показывает, что в области малых частот позитроний за счет интерференции

переизлучает почти в четыре раза больше, в области же больших частот, где вклад интерференции нивелируется, позитрон и электрон в атоме позитрона излучают как два атома водорода.

Работа выполнена при частичной финансовой поддержке ФЦП «Научные и научно-педагогические кадры инновационной России», соглашение № 14.A18.21.1302.

## ЛИТЕРАТУРА

1. A. Rich, Rev. Mod. Phys. **53**, 127 (1981).
2. И. Н. Мешков, ЭЧАЯ **28**, 495 (1997) [I. N. Meshkov, Phys. Part. Nucl. **28**, 198 (1997)].
3. M. Deutsch, Phys. Rev. **82**, 455 (1951).
4. C. M. Surko, Nature Phys. **7**, 521 (2011).
5. D. B. Cassidy et al., Phys. Rev. Lett. **95**, 195006 (2005).
6. Е. В. Ахманова, М. К. Есеев, А. Г. Кобец и др., Письма в ЭЧАЯ **9**, 618 (2012) [E. V. Akhmanova, M. K. Eseev, A. G. Kobets et al., Phys. Part. Nucl. Lett. **9**, 373 (2012)].
7. D. B. Cassidy et al., Phys. Rev. Lett. **108**, 043401 (2012).
8. F. Krausz and M. Ivanov, Rev. Mod. Phys. **81**, 163 (2009).
9. K. Zhao et al., Opt. Lett. **37**, 3891 (2012).
10. L. B. Madsen, L. A. A. Nikolopoulos, and P. Lambropoulos, Hyperfine Interact. **127**, 185 (2000).
11. L. B. Madsen, L. A. A. Nikolopoulos, and P. Lambropoulos, Europ. Phys. J. D **10**, 67 (2000).
12. L. B. Madsen, Nucl. Instr. Meth. B **221**, 174 (2004).
13. V. D. Rodriguez, Nucl. Instr. Meth. B **247**, 105 (2006).
14. S. Borbely, K. Tokesi, and L. Nagy, Nucl. Instr. Meth. B **267**, 386 (2009).
15. О. Н. Гадомский, С. Г. Моисеев, ЖЭТФ **113**, 471 (1998) [O. N. Gadomskii and S. G. Moiseev, JETP **86**, 259 (1998)].
16. B. Henrich, K. Z. Hatsagortsyan, and C. H. Keitel, Phys. Rev. Lett. **93**, 013601 (2004).
17. Z. Kaliman, K. Pisk, and R. H. Pratt, Phys. Rev. A **83**, 053406 (2011).
18. В. А. Астапенко, ЖЭТФ **139**, 228 (2011) [V. A. Astapenko, JETP **112**, 193 (2011)].
19. Р. А. Головинки и Е. М. Михайлов, Laser Phys. Lett. **3**, 259 (2006).
20. V. A. Astapenko, Phys. Lett. A **374**, 1585 (2010).
21. В. И. Матвеев, ЖЭТФ **124**, 1023 (2003) [V. I. Matveev, JETP **97**, 915 (2003)].
22. М. К. Есеев, В. И. Матвеев, В. М. Юлкова, Опт. и спектр. **111**, 360 (2011) [M. K. Eseev, V. I. Matveev, and V. M. Yulkova, Opt. and Spectr. **111**, 330 (2011)].
23. М. К. Есеев, В. И. Матвеев, В. М. Юлкова, ЖТФ **82**, 130 (2012).
24. В. И. Матвеев, Д. У. Матрасулов, Письма в ЖЭТФ **96**, 700 (2012) [V. I. Matveev and D. U. Matrasulov, JETP Lett. **96**, 628 (2013)].
25. П. А. Головинский, Е. А. Михин, ЖЭТФ **140**, 627 (2011) [P. A. Golovinski and E. A. Mikhin, JETP **113**, 545 (2011)].
26. А. М. Дыхне, Г. Л. Юдин, УФН **125**, 377 (1978) [A. M. Dykhne and G. L. Yudin, Sov. Phys. — Usp. **21**, 549 (1978)].
27. Л. Д. Ландау, Е. М. Лифшиц, *Квантовая механика (переиздание классической теории)*, Наука, Москва (1989).
28. A. R. Holt, J. Phys. B: Atom. Mol. Phys. **2**, 1209 (1969).
29. Л. Д. Ландау, Е. М. Лифшиц, *Теория поля*, Наука, Москва (1988) [L. D. Landau and E. M. Lifshitz, *Course of Theoretical Physics, Vol. 2, The Classical Theory of Fields*, Nauka, Moscow (1988); Pergamon, Oxford (1975)].